

# 高酸 Purex 流程镎走向控制及其 回收纯化工艺研究

江 浩 朱建民 吴 浩

(中国原子能科学研究院,北京,102413)

文章介绍用逆流萃取串级实验方法研究高酸 Purex 萃取流程 1A 萃取器镎走向控制(与铀、钚共萃取)及自 1AP 中定量反萃镎、分离铀、钚工艺条件的实验结果。

**关键词** 高酸 Purex 流程, 镎, 走向, 回收-纯化。

## 一、引言

$^{237}\text{Np}$  是核燃料后处理厂副产品之一。在 1 吨动力堆乏燃料元件中其产额可达几百克。因此,作为生产  $^{238}\text{Pu}$  靶材的  $^{237}\text{Np}$  的分离和回收受到人们的重视。

从辐照铀元件后处理废液中回收和纯化  $^{237}\text{Np}$  主要用以下两种方法:(1)在 1A 萃取器中将镎大部赶入 1AW 中,然后,用溶剂萃取或离子交换法回收和纯化<sup>[1,2]</sup>;(2)在 1A 萃取器中将铀、镎、钚共萃,后在其它萃取循环中再将镎与铀、钚分离,并配合其它纯化步骤回收和纯化镎<sup>[3~6]</sup>。

在 1A 萃取器中将镎赶入 1AW 液流,并从中回收和纯化镎的工艺流程,已作过较详细研究<sup>[7]</sup>。本文将介绍在 1A 萃取器中将镎与铀、钚共萃取,并在进入 1B 反萃器前再将镎与铀、钚分离的工艺条件下的串级实验结果。

## 二、实 验

### 1. 试剂及主要料液配制

(1) 30% (V/V) TBP-煤油 TBP 经碱洗-酸洗-水洗至中性;煤油系大庆 240 号脱蜡煤油,经  $\text{Na}_2\text{CO}_3$ - $\text{KMnO}_4$  洗涤,继用去离子水洗至中性。配成 30% (V/V)-煤油溶液。

(2) 硝酸钚溶液 硝酸钚经阴离子交换纯化去除  $^{241}\text{Am}$ ,配制成 1 mol/l  $\text{HNO}_3$  溶液备用。

(3)  $^{237}\text{Np}$  硝酸溶液 二氧化镎经硝酸溶解、TTA 萃取和离子交换纯化配制成 0.3 mol/l  $\text{HNO}_3$  的  $\text{Np}(\text{NO}_3)_4$  溶液。

(4)  $^{239}\text{Np}$  示踪剂溶液 封装在石英安瓿瓶中的  $\text{U}_3\text{O}_8$  粉末经反应堆中子照射后,硝酸溶解,调价和离子交换纯化后,以 0.3 mol/l 硝酸镎溶液备用。

(5) 1AF 料液 用已知浓度的硝酸铀酰、浓硝酸、硝酸钚及硝酸镎溶液配制 1AF 料液,使

其含 3(或 2.5) mol/l HNO<sub>3</sub>、300 g/l U、约 100 mg/l <sup>239</sup>Pu 及加入适量<sup>239</sup>Np 示踪剂的 3 mg/l <sup>237</sup>Np。加入 5 mol/l NaNO<sub>2</sub> 使其在 1AF 料液中的浓度为 0.05 mol/l, 不时搅拌, 放置 0.5 h, 再加入 0.05 mol/l NH<sub>4</sub>VO<sub>3</sub>, 使其浓度为 0.01 mol/l, 放置 20 min 后备用。

(6) 1BF 料液 取自 1A 萃取器逆流串级实验中的 1AP 有机相混合液。其中含 U 约为 90 g/l、<sup>239</sup>Pu 30 mg/l、<sup>237</sup>Np 1 mg/ml 及示踪剂<sup>239</sup>Np 约 10<sup>5</sup> 计数/min。

(7) 其它试剂 均为分析纯。

## 2. 分析方法

含铀水相中硝酸浓度和常量铀含量用饱和 K<sub>2</sub>SO<sub>4</sub>-pH 滴定法测定之, 它们在有机相中的浓度和含量在用饱和 K<sub>2</sub>SO<sub>4</sub> 反萃后同法测定之。微量铀用铀试剂-Ⅲ 比色法测定。水相钚含量用 TTA 萃取法分析, 有机相中的钚在经亚铁反萃、亚硝酸钠调价后, 用 TTA 萃取法测定其含量。以<sup>239</sup>Np 作示踪剂在 GD-1 型单道 γ 谱仪上测量其 0.278 MeV γ 能峰的放射性活度, 扣除铀的 γ 射线贡献, 测定水相及有机相中的镎含量。

## 3. 串级实验工艺流程

根据单级分配系数实验结果并参照以往的有关研究工作<sup>[8,9]</sup>, 拟定了图 1 所示的串级实验工艺流程。

## 4. 串级实验方法

按 Alders<sup>[10]</sup> 多级逆流萃取实验方法进行串级实验, 需恒温的实验在带有水循环的恒温振荡器上进行。串级实验一直进行到所需测定的元素在水相流出液 1AW, 1NP 中或有机相流出液 1AP, 1NW 中达到传质平衡后, 间隔一定的串级排数取样分析各相应元素的含量, 以此计算镎、铀、钚的回收率, 镈反萃率及镎-铀、镎-钚的分离系数。

## 三、实验结果和讨论

### 1. 1AW 槽镎、铀、钚共萃

逆流萃取串级实验结果列于表 1。实验结果表明:

(1) 含镎、钚、铀的 1AF 先经 0.05 mol/l NaNO<sub>2</sub> 调价, 将镎、钚分别调至 Np(V)、Pu(IV), 再加入 0.01 mol/l NH<sub>4</sub>VO<sub>3</sub>, 进一步将镎调至 Np(VI), 钚仍保持四价<sup>[7]</sup>。在整个调价过程中铀始终为六价态。在图 1 所示的串级萃取工艺条件下, 镈的回收率可达 99.5%~99.6%(串-2, 3), 由此表明 NH<sub>4</sub>VO<sub>3</sub> 是一种能将镎转化为具有更优萃取性能的 Np(VI) 的较好氧化剂。此时, 钚和铀的回收率分别高达 99.96% 和 99.998%, 表明 Pu(IV) 不被 V(V) 氧化为 Pu(VI)。这一结果与 Srinivasan<sup>[11]</sup> 的结果一致。铀、镎、钚在各级中的表观分配比列于表 2。

(2) 1AF 料液和 1AS 洗涤液中均加入 NH<sub>4</sub>VO<sub>3</sub> 对提高镎的回收率是有益的(串-1, 4), 镈的回收率可达 99.9%, 而对铀、钚的回收率均无影响。

(3) 在 1AF 料液中不加入 NH<sub>4</sub>VO<sub>3</sub> 进行调价, 仅在 1AS 洗涤液中加 NH<sub>4</sub>VO<sub>3</sub> 使其浓度为 0.05 mol/l, 其它萃取工艺条件不变。这时, 镈的回收率可达 99.9%, 钚的回收率仍可高达

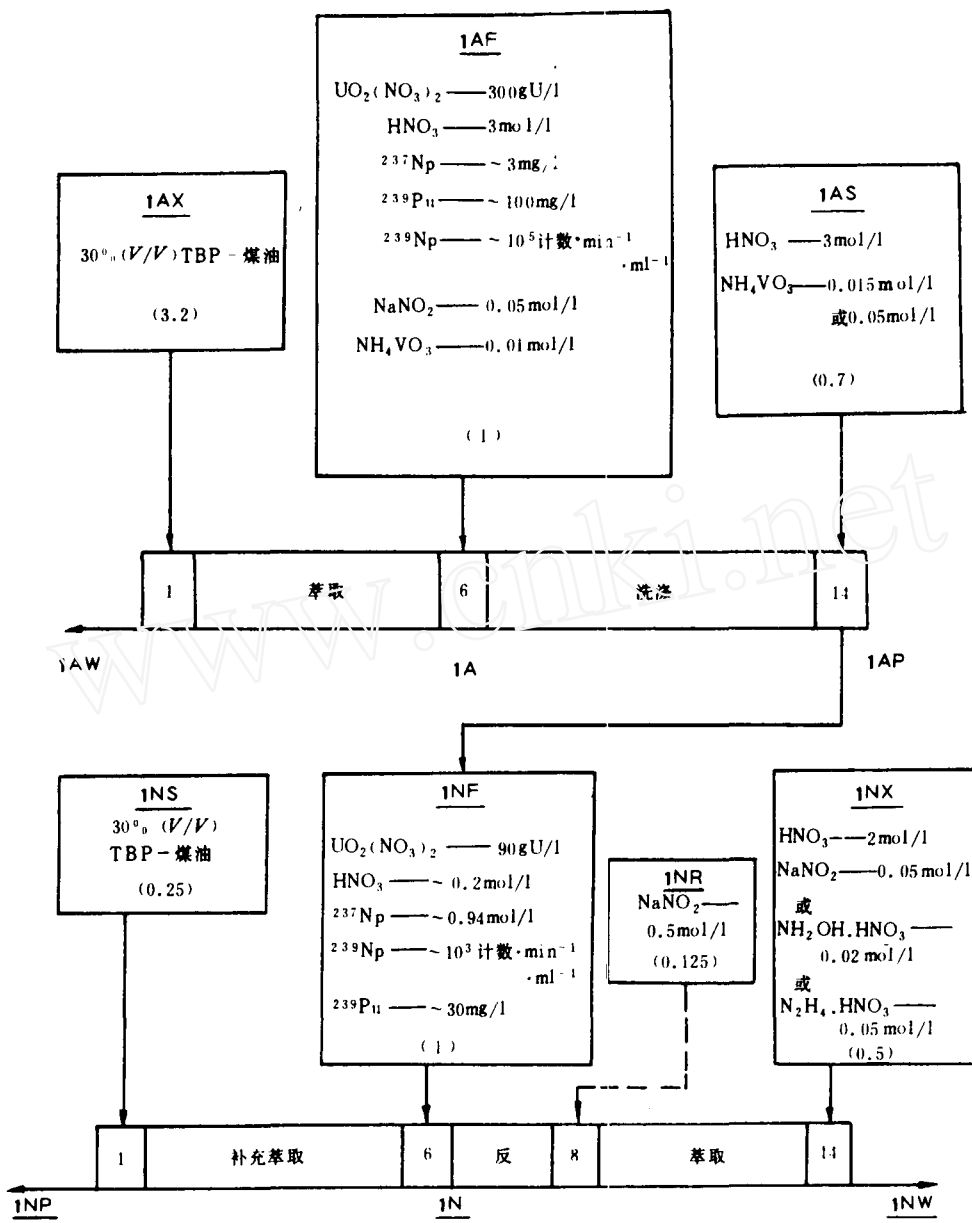


图 1 1A 萃取, 1N 反萃分离槽串级实验工艺流程示意图

Fig. 1 Schematic flowsheet for the cascade counter-current extraction of 1A and 1N contactors

99.92% (串-10)。实验结果是满意的。

(4) 有机相(1AX)流量降低 5%, 对镎的回收率无明显影响, 此时回收率为 99.5% (串-5), 对钚和铀的回收率也影响甚微。将 1AX 流量降低 10%, 则镎的回收率大大降低(串-6, 7)。在此萃取工艺条件下, 由于 1AP 中铀的饱和度高达 82%, 因此, 大部分镎将被挤入 1AW 中, 从而造成镎的回收率大幅度降低。这一实验结果可从我们先前的一项类似工作<sup>[8]</sup>中找到旁证。

(5) 把 1AF 料液的硝酸浓度降低(串-8, 9), 其它萃取工艺条件不变, 此时, 镎的回收率稍

有降低,为96%~98%。这是由于镎在1A槽萃取段分配比下降所致(表2)。

表1 1A萃取器镎、钚、铀回收率串级实验  
Table 1 The recovery for Np, Pu and U in 1A contactor

实验序号	1AF组成			萃取条件		回收率/%		
	c(HNO <sub>3</sub> )/mol·l <sup>-1</sup>	ρ(U)/g·l <sup>-1</sup>	c(NH <sub>4</sub> VO <sub>3</sub> )/mol·l <sup>-1</sup>	流比 1AF:1AX:1AS	温度/℃	镎	钚	铀
串-1	3.0	300	0.01	1:3.2:0.7	18	99.92	99.94	99.997
串-2	3.0	300	0.01	1:3.2:0.7	17	99.53	99.96	99.998
串-3	3.0	300	0.01	1:3.2:0.7	21	99.64	99.96	99.998
串-4	3.0	300	0.01	1:3.2:0.7	12	99.93	99.94	99.997
串-5	3.0	300	0.01	1:3.05:0.7	11	99.50	99.94	99.997
串-6	3.0	300	0.01	1:2.9:0.7	13	16.43	—	99.997
串-7	3.0	300	0.01	1:2.9:0.7	25	14.52	—	99.997
串-8	2.5	300	0.01	1:3.2:0.7	15	95.87	99.92	99.997
串-9	2.5	300	0.01	1:3.2:0.7	15	98.76	99.92	99.997
串-10	3.0	300		1:3.2:0.7	12	99.92	99.94	99.997

注:1AF料液——在3.0 mol/l HNO<sub>3</sub>-300 g/l U含镎、钚溶液中加入NaNO<sub>2</sub>使之浓度为0.05 mol/l,放置0.5 h,再加入NH<sub>4</sub>VO<sub>3</sub>使c(NH<sub>4</sub>VO<sub>3</sub>)为0.01 mol/l,放置15~20 min调价后备用;1AS中钒酸铵浓度为0.015 mol/l(串-4,5);1AS中钒酸铵浓度为0.05 mol/l(串-10);萃取振荡混合1 min;其它萃取工艺条件示于图1;物料衡算大于95%。

表2 1A、1N槽铀、镎、钚串级实验各级表观分配比D  
Table 2 The apparent partition ratio for U, Np and Pu in the stages of 1A and 1N contactors

级序	一	二	三	四	五	六	七	八	九	十	十一	十二	十三	十四
串-2,3	D <sub>Np</sub>	10.3	10.1	10.2	8.2	8.6	3.6	0.29	0.32	0.26	0.25	0.35	0.29	0.30
	D <sub>Pu</sub>	5.62		4.83		4.34		0.28		0.33		0.31		0.38
	D <sub>U</sub>	2.99		3.75		4.11		4.53		4.46		4.65		5.05
串-8	D <sub>Np</sub>		4.96		2.71		3.40		1.32		1.31		1.39	
	D <sub>U</sub>		5.10		3.94		3.85		1.38		1.47		1.78	
	D <sub>Pu</sub>													
串-11	D <sub>Np</sub>	0.40		0.18		0.10		0.09		0.18		0.10		0.55
	D <sub>Pu</sub>	3.40		3.70		3.51		0.73		0.75		0.96		1.13
	D <sub>U</sub>	1.94		3.26		3.43		3.48		4.46		4.68		5.16
串-1,4	D <sub>Np</sub>	10.9	8.68	7.40	6.19	5.02	5.55	0.53	0.42	0.46	0.31	0.43	0.35	0.41
串-10	D <sub>Np</sub>	9.53		9.44		6.22		1.42		1.52		1.53		1.52
串-13	D <sub>Np</sub>		0.21		0.25		0.45		0.61		0.67		0.62	

注:串级实验工艺条件列于表1和表4。

串-11,13为1N槽的实验结果,其余为1A槽的实验结果。

(6)在表1所列萃取工艺条件下,铀的回收率均高于99.99%,铀在1AW液流中的流失量是很小的,仅为4~6 mg/l(表3)。

## 2.1N反萃分离槽镎、钚、铀串级

串级实验结果列于表4。实验结果表明:

(1)1N反萃分离槽的任务是在1AP进入1B钚还原反萃槽前将镎定量反萃,而使铀和钚

仍保留在有机相中,以达到镎与铀、钚分离的目的。采用 $2\text{ mol/l HNO}_3$ - $0.05\text{ mol/l NaNO}_2$ 作反萃剂,并在第八级加入 $0.1\text{ mol/l NaNO}_2$ 的反萃工艺条件,经八级反萃、六级补充萃取可定量反萃镎,并将铀、钚保留在1NW有机相液流中(串-11,12)。在第八级加入 $0.1\text{ mol/l NaNO}_2$ 的目的是使反萃段保持较高的 $\text{NaNO}_2$ 浓度,从而有效地将 $\text{Np(VI)}$ 还原至 $\text{Np(V)}$ 而被完全反萃下来。镎-钚分离系数 $SF_{\text{Pu/Np}}$ 为 $1.27 \times 10^3 \sim 1.37 \times 10^3$ ,而 $SF_{\text{U/Np}}$ 为 $5 \times 10^3$ 。各级镎、铀、钚表观分配比列于表2。

表3 1A,1N槽串级实验各级的铀酸分布  
Table 3 Distribution for U in the stages of 1A and 1N contactors

序号	级 序	一	二	三	四	五	六	七	八	九	十	十一	十二	十三	十四
串-2	有 机 相	c ( $\text{HNO}_3$ ) / $\text{mol} \cdot \text{l}^{-1}$	0.75	0.86	0.20	0.17	0.18	0.18	0.19						
		$\rho (\text{U}) / \text{g} \cdot \text{l}^{-1}$	2.25	13.2	90.4	91.6	92.8	94.1	94.4						
串-11	水 相	c ( $\text{HNO}_3$ ) / $\text{mol} \cdot \text{l}^{-1}$	3.83	4.33	4.56	3.45	3.42	2.94	2.94						
		$\rho (\text{U}) / \text{g} \cdot \text{l}^{-1}$	1.13	3.52	22.0	20.2	20.8	20.2	17.9						
	有 机 相	c ( $\text{HNO}_3$ ) / $\text{mol} \cdot \text{l}^{-1}$	0.53	0.33	0.13	0.08	0.11	0.13	0.19						
		$\rho (\text{U}) / \text{g} \cdot \text{l}^{-1}$	0.63	11.9	77.6	79.7	79.7	72.6	70.2						
	水 相	c ( $\text{HNO}_3$ ) / $\text{mol} \cdot \text{l}^{-1}$	1.88	1.83	1.89	1.52	1.62	1.57	1.82						
		$\rho (\text{U}) / \text{g} \cdot \text{l}^{-1}$	0.31	3.65	22.6	22.9	17.9	15.5	13.6						

注:1. 串级实验工艺条件列于表1和表3。

2. 串-2为1A槽的实验结果,串-11为1N槽的实验结果。

表4 1N槽镎反萃率及镎-铀、镎-钚的分离系数(串级实验)  
Table 4 The stripping yield of Np and separation factor of Np from U, Pu in 1N contactor

序号	1NX				1NR		1NS		反萃温度 / °C	镎的反萃率 / %	镎-铀分离系数 $SF_{\text{U/Np}}$	镎-钚分离系数 $SF_{\text{Pu/Np}}$
	c ( $\text{HNO}_3$ ) / $\text{mol} \cdot \text{l}^{-1}$	c ( $\text{NaNO}_2$ ) / $\text{mol} \cdot \text{l}^{-1}$	c ( $\text{NH}_2\text{OH}$ ) / $\text{mol} \cdot \text{l}^{-1}$	c ( $\text{N}_2\text{H}_4$ ) / $\text{mol} \cdot \text{l}^{-1}$	c ( $\text{NaNO}_3$ ) / $\text{mol} \cdot \text{l}^{-1}$	c ( $\text{NaNO}_2$ ) / $\text{mol} \cdot \text{l}^{-1}$						
串-11	2.0	0.05			0.5				21	99.65	$5 \times 10^3$	$1.37 \times 10^3$
串-12	2.0				0.5	0.2			20	99.46	$5 \times 10^3$	$1.27 \times 10^3$
串-13	2.0		0.02						40	99.24	$5 \times 10^3$	$4.31 \times 10^3$
串-14	2.0			0.05					40	93.15	$5 \times 10^3$	26.3

注:串-11及串-12的1NR由第八级加入,其流量为1NF的 $\frac{1}{6}$ ;反萃混合时间为1 min;1NF组成及其它工艺条件示于图1;铀、镎、钚物料衡算均大于95%。

(2)采用 $2\text{ mol/l HNO}_3$ - $0.02\text{ mol/l NH}_2\text{OH} \cdot \text{HNO}_3$ 作反萃剂并选定反萃温度为 $40^\circ\text{C}$ ,在其它反萃工艺条件相同情况下,虽能有效地将 $>99\%$ 的镎反萃下来(串-13),但镎-钚分离系数 $SF_{\text{Pu/Np}}$ 却有所降低,为 $4.3 \times 10^2$ 。这说明硝酸羟胺将部分 $\text{Pu(IV)}$ 还原,镎-铀分离系数 $SF_{\text{U/Np}}$ 不受影响。

(3)其它反萃工艺条件相同,采用 $2\text{ mol/l HNO}_3$ - $0.05\text{ mol/l N}_2\text{H}_5\text{NO}_3$ 作反萃剂,镎的反萃率为93%(串-14)。反萃不完全的原因在于在该反萃工艺条件下,硝酸肼还原 $\text{Np(VI)}$ 的速度较

慢。此外,约有 4% 的 Pu(IV) 被硝酸肼还原为 Pu(III) 而从 1AP 中反萃下来,导致镎-钚分离系数大为降低,  $SF_{Np/Pu}$  为 26.3。镎-铀分离系数  $SF_{U/Np}$  并不因使用  $N_2H_5NO_3$  作反萃剂受到影响。

## 四、小 结

1. 在所选定的 1A 槽萃取工艺条件下(图 1),使用 0.01 mol/l  $NH_4VO_3$  对 1AF 料液调价,镎的回收率可达 99.5%~99.9%;钚和铀的回收率分别为 99.96% 和 99.998%。若同时在 1AS 洗涤液中补加  $NH_4VO_3$  使其浓度为 0.015 mol/l,可将镎的回收率提高而不影响铀和钚的回收率;单独在 1AS 中加入  $NH_4VO_3$  也可有效地氧化 Np(V) 至 Np(VI),从而使镎的回收率达 99.9%,铀、钚回收率仍不受影响。

2. 将有机相流量降低 10%,镎的回收率大大降低,仅为 14%~16%。这是由于有机相铀饱和度增大所致。串级实验结果表明,有机相 1AX 流量降低幅度小于 5% 是允许的。

3. 1AF 料液硝酸浓度降低(2.5 mol/l  $HNO_3$ ),镎的回收率将随之有所降低(96%~98%)。

4. 1N 反萃分离槽串级实验结果表明,在表 4 所列反萃分离工艺条件下,采用  $NaNO_2$  作反萃剂,并在第八级补加 0.1 mol/l  $NaNO_2$ ,经八级反萃,六级补充萃取可定量反萃镎(镎的回收率达 99.6%),镎-铀分离系数达  $5 \times 10^3$ ,镎-钚分离系数为  $1.27 \times 10^3 \sim 1.37 \times 10^3$ 。

5. 1N 反萃分离槽采用 2 mol/l  $HNO_3$ -0.02 mol/l  $NH_2OH \cdot HNO_3$  作反萃剂并配合一定的反萃温度(40℃)可将 99% 镎从 1AP 反萃下来,镎-钚分离系数有所降低( $SF_{Pu/Np}$  为  $4.31 \times 10^2$ ),镎-铀分离系数则不受影响。

6. 1N 反萃分离槽采用 2 mol/l  $HNO_3$ -0.05 mol/l  $N_2H_5NO_3$  作反萃剂,40℃下反萃是不完全的,镎的反萃率为 93%,而且镎-钚分离系数大为降低,  $SF_{Pu/Np}$  仅为 26.3。

## 参 考 文 献

- [1] Schulz, W. W. et al., USAEC-TID-25955(1972).
- [2] Caraciba, V. P., *Ind. Eng. Chem. Process Des. Dev.*, 3(4), 314(1964).
- [3] Gron, H. J. et al., *Prog. Nucl. Energy Ser.* (III) 4, 507(1970).
- [4] Gourisse, D. et al., *Radiochim. Acta* 13, 187(1970).
- [5] Doukes, E. K., DP-434(1959).
- [6] André Chesné, ORNL-tr-1847(1968).
- [7] 江浩等,核燃料后处理(1977 年会议资料选编),北京,原子能出版社,46 页。
- [8] 江浩等,核化学与放射化学,3(1),12(1981)。
- [9] 江浩等,原子能科学技术,(2), 202(1985)。
- [10] Alders, L. A., *Liquid-Liquid Extraction, Theory and Laboratory Practice*, 2nd. ed., Austerdan Elsevier Publishing Co. 1959.
- [11] Srinivasan, N., BARC-738(1974).

(编辑部收到日期:1990 年 12 月 29 日)

# STUDIES ON THE TREND AND RECOVERY-PURIFICATION OF Np IN HIGH-ACID PUREX PROCESS

JIANG HAO      ZHU JIANMIN      WU HAO

(*China Institute of Atomic Energy, P. O. Box, 275, Beijing, 102413*)

## ABSTRACT

Coextraction of Np with Pu and U in 1A extraction contactor and the stripping of Np from 1AP organic phase in 1N contactor in high-acid purex process by using cascade counter-current extraction method are investigated. In the extraction conditions of 1A contactor, the valence of U, Np in 1AF is adjusted with  $\text{NH}_4\text{VO}_3$ . The recovery of Np, Pu and U is 90.5%~99.9%, 99.96% and 99.998%, respectively. The influence of the flow rate of 1AX and concentration of  $\text{HNO}_3$  on the recovery of Np is studied. In 1N contactor, the experimental results show that, by using  $\text{NaNO}_2$  as stripping agent, the stripping yield of Np is 99.6% and the separation factor ( $SF_{\text{Pu}/\text{Np}}$ ) is  $1.27 \times 10^3 \sim 1.37 \times 10^3$ , while by using  $\text{NH}_2\text{OH} \cdot \text{HNO}_3$  and  $\text{N}_2\text{H}_5\text{NO}_3$  as stripping agent, the stripping yield of Np is 99.2% and 93% and  $SF_{\text{Pu}/\text{Np}}$  is  $4.3 \times 10^2$  and 26. However, all the  $SF_{\text{Pu}/\text{Np}}$  are the same, i. e.,  $5 \times 10^3$  for the three different stripping agents mentioned above.

**Key words** High-acid Purex process, Neptunium, Trend, Recovery-purification.